

57 例鼻腔非霍奇金淋巴瘤的回顾性病理分析

堵永娅^{1, 2} 贾国涛³ 封宇^{4, 5} 宫丽丽⁴ 李连庆⁴

1. 山东省聊城市人民医院东昌府院区耳鼻咽喉头颈外科 山东 聊城 252024
2. 山东第一医科大学 (山东省医学科学院) 山东 泰安 271000
3. 山东省聊城市人民医院病理科 山东 聊城 252000
4. 山东省聊城市人民医院耳鼻咽喉头颈外科 山东 聊城 252000
5. 山东第一医科大学 (山东省医学科学院) 山东 济南 250000

【摘要】目的: 探讨鼻腔非霍奇金淋巴瘤的病理类型构成、年龄分布和性别特点。方法: 回顾性分析行鼻腔活检的 2325 例疾病中, 经病理确诊的 57 例鼻腔非霍奇金淋巴瘤的临床资料。**结果:** 57 例鼻腔淋巴瘤患者中, 男性 35 例, 女性 22 例。年龄 27-90 岁, 发病高峰年龄 38-66 岁。在病理诊断中包含 57 例鼻腔淋巴瘤, 同属于非霍奇金淋巴瘤 (NHL), 其中概括细胞淋巴瘤 (NK/T) 52 例以及弥漫大 B 细胞淋巴瘤 - 非特殊类型 (DLBCL-NOS) 5 例。**结论:** 原发于鼻腔的非霍奇金淋巴瘤发病主要群体是中老年群体, 其中男性患者较多, 细胞淋巴瘤 (NK/T) 是临床常见类型病症, 其病理表征较为复杂, 最终病理分型需病理及免疫组化明确。

【关键词】非霍奇金淋巴瘤; 鼻腔; 病理类型; 免疫组织化学

Retrospective Pathological Analysis of Fifty-seven Cases of Nasal Non-Hodgkin's Lymphoma

Yongya Du^{1,2}, Guotao Jia³, Yu Feng^{4,5}, Lili Gong⁴, Lianqing Li⁴

1. Department of Otolaryngology, Head and Neck Surgery, Dongchangfu District, Liaocheng People's Hospital of Shandong, Shandong Liaocheng 252024
2. Shandong First Medical University (Shandong Academy of Medical Sciences) Shandong Tai'an 271000
3. Department of Pathology, Liaocheng People's Hospital of Shandong, Shandong Liaocheng 252000
4. Department of Otolaryngology, Head and Neck Surgery, Liaocheng People's Hospital, Shandong Liaocheng 252000
5. Shandong First Medical University (Shandong Academy of Medical Sciences) Shandong Jinan 250000

Abstract: Objective: To investigate the pathological types, age distribution and sex characteristics of nasal Non-Hodgkin lymphoma (NHL). **Methods:** The clinical data of 57 cases of nasal non-Hodgkin lymphoma diagnosed by pathology were retrospectively analyzed. **Result:** Among 57 patients with nasal lymphoma, 35 were male and 22 were female. The age range is 27-90 years, and the peak age of onset is 38-66 years. The pathological diagnosis included 57 cases of nasal lymphoma, also belonging to Non-Hodgkin lymphoma (NHL), including 52 cases of generalized cell lymphoma (NK/T) and 5 cases of diffuse large B-cell lymphoma-non-specific type (DLBCL-NOS). **Conclusion:** Primary nasal non-Hodgkin lymphoma mainly affects middle-aged and elderly people, with more male patients. Cell lymphoma (NK/T) is a common type of clinical disease, and its pathological characteristics are relatively complicated, and the final pathological classification needs to be confirmed by pathology and immunohistochemical.

Keywords: Non-Hodgkin's lymphoma, Nasal cavity, Pathological type, Immunohistochemistry

1 前言

鼻腔、鼻窦及鼻咽部的恶性淋巴瘤是非上皮性恶性肿瘤中最多见的^[1]。根据相关诊断可以发现恶性肿瘤会出现组织细胞增生以及多形性网状细胞增生等症状, 同时也属于恶性淋巴瘤的一种, 该病症主要是由于弥漫大 B 细胞淋巴瘤、细胞淋巴瘤以及外周 T 细胞淋巴瘤等组成^[2]。目前我国临床主要出现的是鼻腔淋巴瘤和细胞淋巴瘤等病症^[3]。与 EB 病毒感染有关, 80% 发生于鼻腔前端, 另 20% 发现于鼻腔顶部^[4]。本研究回顾性分析 57 例鼻腔 NHL 患者资料,

对其年龄分布及性别、临床病理类型构成分析, 以提高对该病临床病理特征的认识及诊断水平, 本文针对其内容进行分析, 可为临床相关诊断提供参考价值。

2 材料与方法

2.1 资料来源

收集山东省聊城市人民医院病理科 2005 年 2 月—2021 年 12 月行鼻腔肿物活组织检查的 2325 例, 排除非淋巴瘤病和重复送检的病例, 所有入选者均经病理组织学、免疫组织化学检查确诊, 临床资料完整, 合计有 57 例确诊为鼻

腔非霍奇金淋巴瘤。其中, 男性 35 例, 女性 22 例, 年龄 27-90 岁, 中位年龄 55 岁。临床首发症状包括鼻塞 44 例, 脓涕 15 例, 鼻出血 12 例, 嗅觉减退 10 例, 有 4 例以面部肿胀就诊。本文针对选取的案例其性别、年龄等资料进行回顾性分析, 以此对其进行评估和比较。

2.2 方法

本文使用的甲醛固定标本, 含量是 40g/L, 采用石蜡包埋以及连续切片处理, 在常规就你行 HE 染色之后, 对其进行免疫组织化学染色, 标本切面保证在 3-4 μ m 厚度。医师在对病理进行审核和排除之后, 需将组织学和免疫表型等诊断符合案例进行分析, 同时采用回顾性分析对案例进行统计和阐述。根据相关组织颁布的淋巴组肿瘤分类标准对其病理进行分类和诊断^[5]。对患者的年龄分布、性别、病

理类型采用构成比分析, 并与国内外原发扁桃体的淋巴瘤资料进行对比分析。根据恶性淋巴瘤病理特点进行分类可以得知患者出现瘤组织大面积坏死, 同时瘤的形状和细胞不会形成瘤块, 同时弥漫在固有组织当中, 并且呈现多形性的同时会有一定的亲血管性, 患者中部分病变会出现在鼻腔和鼻咽等部位, 同时另一部分患者会出现全身性扩散, 从而导致患者死亡, 在类型诊断中主要会选择免疫组织化学抗体均购自迈新公司, 选择 MUM-1、LCA、CD20、Cyclin D1、CD79a、Pax5、CD21、Ki-67、CD3、Kappa、CD10、Bcl-2、CD5、Bcl-6、TdT、CD35、Cxcl-13、D2-40、Lambda 等抗体对临床诊断进行辅助判断, 从而对类型进行分析。有的病例行 EBER 原位杂交和 Ig 及 TCR 基因克隆性检测。典型病理见图 1。

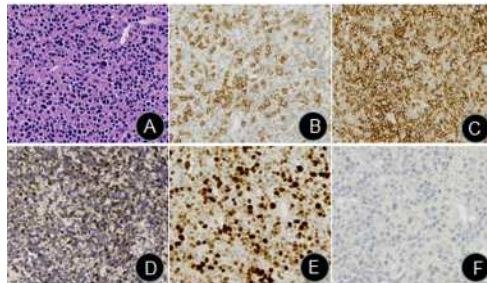


图 1 A: 肿瘤细胞散在分布, 可见残存薄壁血管; B: 肿瘤细胞 CD3 阳性; C 肿瘤细胞 CD56 阳性; D 肿瘤细胞 EBER 阳性; E 肿瘤细胞 Ki67 阳性高表达; F 肿瘤细胞 CD20 阴性。

3 结果

3.1 年龄分布及性别特点

本组 57 例患者中, 发生于右鼻腔者 29 例, 左鼻腔 23 例, 双鼻腔 5 例。所有患者中, 男性 35 例, 女性 22 例, 男女比例 1.59 : 1, 男性患者多于女性。发病年龄 27-90 岁,

中位年龄为 55 岁, 发病年龄高峰为单峰分布。男性最年轻为 29 岁, 年龄最大 83 岁, 女性患者最小者 27 岁, 最大者 90 岁。20~30 岁 4 例, 31~50 岁 11 例, 51~70 岁 32 例, 71~90 岁 10 例, 31~70 岁之间患者占 75.4%, 提示 31~70 岁为发病高发年龄段。见表 1 及图 2。

表 1 57 例鼻腔 NHL 患者发病年龄分布及性别构成

年龄段 (岁)	例数 (例)	性别		构成比 (%)
		男性	女性	
20-30	4	1	3	7.0
31-50	11	6	5	19.3
51-70	32	20	12	56.2
71-90	10	6	4	17.5
合计	57	33	24	100

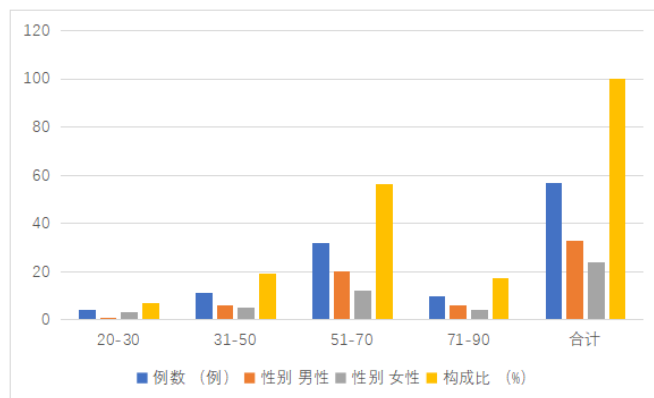


图 2 57 例鼻腔 NHL 患者发病年龄分布及性别构成状况柱形图

3.2 组织病理学类型

57例患者均经病理学及免疫组织化学染色确诊,均为非霍奇金淋巴瘤,其中,NK/T细胞淋巴瘤52例(91.22%),

弥漫大B细胞淋巴瘤5例(8.7%),NK/T细胞淋巴瘤远多于弥漫大B细胞淋巴瘤。典型病理见图3。

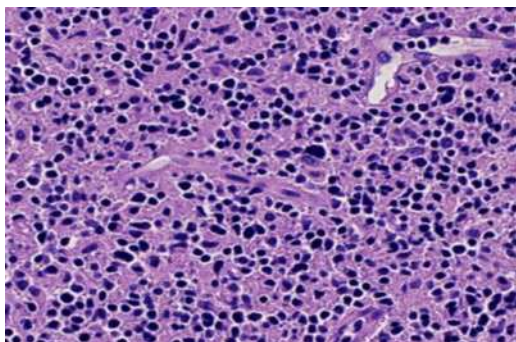


图3 20倍镜下见肿瘤细胞弥漫分布,组织学结构破坏严重,可见残存薄壁血管。

4 讨论

淋巴瘤的病理组织学类型复杂,可分为霍奇金淋巴瘤和非霍奇金淋巴瘤两大类,其中,NHL约占所有淋巴瘤数量的80%~90%^[6]。非霍奇金淋巴瘤(NHL)是一种起源于淋巴系统的恶性肿瘤,按细胞来源可以分为B细胞性、T细胞性和自然杀伤(NK)/T细胞性^[7]。鼻腔淋巴瘤的发病在40~60岁人群中多发,该病症多发在男性患者当中,所以本文中对于男性病例选取较多^[8],本组57例鼻腔淋巴瘤患者中男女比例不同情况下,选取男性相对较多,同时也与本文选取病例性别等有明显差异,病例中NK/T细胞型占91.22%,DLBCL型占8.7%,NK/T细胞淋巴瘤远多于弥漫大B细胞淋巴瘤,占比最高。患者主诉以反复/进行性鼻塞、脓涕、鼻出血为主^[9]。由于临床症状不典型,对该病的诊断无特异性,现鼻腔非霍奇金淋巴瘤的确诊依然要靠病理学检查。病理检查有明显的坏死和不同程度的炎症背景,炎症背景中可见异型的肿瘤性淋巴细胞,核呈不规则扭曲样或折叠样,核仁不明显,核分裂象可见,肿瘤细胞以血管为中心生长,可浸润和破坏血管,在上述的背景中可见形态正常的淋巴细胞、浆细胞及组织细胞等^[10]。

综上所述,鼻腔非霍奇金淋巴瘤有其特殊性,在临床工作中较罕见,缺少大样本分析研究,且初期表现缺乏特异性,易被忽视,但该疾病具有较强的侵袭性,并且预后较差,需要引起高度重视。积极开展早期活检,避免误诊或漏诊,以尽早开始治疗,提高患者的总生存率。

参考文献:

[1] 周静,肖毅.EB病毒与其相关淋巴瘤的研究进展[J].

中国实验血液学杂志,2018,(1):292-295.

[2] 蔡博,周志毅.结外鼻型NK/T细胞淋巴瘤20例临床病理分析[J].临床医药文献电子杂志,2017,(68):13341-13342.

[3] 张迎宏,段清川,左强,等.5例鼻腔鼻窦非霍奇金淋巴瘤患者的临床特征分析[J].临床耳鼻咽喉头颈外科杂志,2017,31(21):1653-1657.

[4] 王诗媛,曹江,徐开林.复发/难治性非霍奇金淋巴瘤CAR-T细胞治疗后的复发机制及应对策略[J].中华血液学杂志,2020,(5):437-440.

[5] 谢丹娜,李英华,陈晓静,等.鼻腔NK/T细胞淋巴瘤患者的生存及预后分析[J].中国实验血液学杂志,2020,(2):507-511.

[6] 王小琴,刘良发.102例头颈部淋巴瘤的临床分析[J].临床耳鼻咽喉头颈外科杂志,2020,(2):177-180.

[7] 杨小芸,沈丽达,龙庭凤,等.1326例非霍奇金淋巴瘤临床病理特点分析[J].中华肿瘤防治杂志,2016,(9):605-609.

[8] 陈海月,崔京淑,金仁顺,等.102例头颈部原发结外淋巴瘤临床及病理特征分析[J].延边大学医学学报,2020,(4):288-290.

[9] 范峥荣,螺旋CT与MR检查在鼻腔淋巴瘤诊断中的应用价值[J].医疗装备,2019,32(14):33-34.

[10] 历建强,孟敏,赵月菊,等.鼻腔NK/T细胞淋巴瘤1例[J].实用医药杂志,2020,(3):254-256.

作者简介:

通信作者:李连庆,Email:lilianqing1979@163.com